

# 运算放大器应用手册

●曾新民 曾天剑 编著

运算放大器应用手册

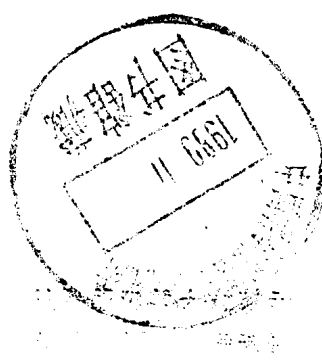


电子工业

73·763  
652

# 运算放大器应用手册

曾新民 曾天剑 编著



电子工业出版社

9010250

## 内 容 简 介

本手册以运算放大器在应用中所遇到的问题为线索，汇编了有关应用方面丰富的资料，并给以必要的论述。内容包括：运算放大器基础知识；国内外运算放大器的品种和性能；运算放大器参数测试方法；运算放大器的应用技巧；典型应用电路的设计原理和数据；实用电路精选。本手册既是工程技术人员的实用工具书，也可作为初次学用运算放大器的读者的理论指导书。

Dt16/36

### 运算放大器应用手册

曾新民 曾天剑 编著

责任编辑 王昌喜

\*  
电子工业出版社出版(北京市万寿路)

电子工业出版社发行 各地新华书店经销

山东电子工业印刷厂印刷  
(淄博市周村)

\*  
开本：787×1092毫米 1/16 印张：16.825 字数：436千字

1990年3月第1版 1990年3月第1次印刷

印数：1~10,100册 定价：6.00元

ISBN7-5053-0781-4/TN·280

## 前　　言

当今运算放大器已作为一种基本电子元件，在各个电子领域中得到广泛应用。广大电子工程技术人员希望有一部既有一定的理论分析，而又很实用、资料丰富的工具书。因为单纯的实用电路难以使人举一反三，满足在应用中的具体要求，而单纯的理论分析则常常不能即刻解决实际问题。本手册从应用的角度，汇集了国内外运算放大器的品种和引线排列以供读者选型。介绍了运算放大器的测试方法和测试电路，以便读者对所选运算放大器能进行简易测试。为了使读者达到灵活应用运算放大器的目的，对运算放大器内部电路有一定的了解，为此对典型的运算放大器内部电路作了分析。并对典型的应用电路作了原理论述，最后精选了部分实用电路以作参考。期望读者能根据自己的要求，参考本手册，设计出所需的应用电路，起到应用指南的作用。

本书由苏敏之同志审校。

由于编者的水平所限，书中定会存在不少缺点，甚至差错，恳请读者批评指正。

编　　者

1989年2月

# 目 录

<b>第一章 集成运算放大器内电路分析</b>	( 1 )
第一节 集成运算放大器内电路元件	( 1 )
一、集成电路制造一般工艺过程	( 1 )
二、集成运算放大器中的双极型晶体管	( 2 )
三、集成运算放大器中的结型场效应管	( 6 )
四、集成运算放大器中的 MOS 场效应管	( 7 )
五、集成运算放大器中的无源元件	( 9 )
第二节 集成运算放大器的单元电路	( 10 )
一、基本差分放大电路	( 10 )
二、几种常见的差分输入电路	( 15 )
三、电流源电路	( 17 )
四、单端化电路	( 19 )
五、电平移动电路	( 20 )
六、输出级及保护电路	( 21 )
<b>第二章 典型集成运算放大器原理</b>	( 23 )
第一节 通用型运算放大器——μA741	( 23 )
一、电路分析	( 23 )
二、电参数规范	( 35 )
第二节 单电源低功耗型运算放大器——8FC7	( 35 )
一、电路原理	( 35 )
二、电参数规范	( 37 )
三、应用中的问题	( 37 )
第三节 跨导型运算放大器——LM3080	( 39 )
一、电路原理	( 39 )
二、跨导型运算放大器的特点	( 39 )
三、电参数规范	( 40 )
四、典型应用	( 40 )
第四节 电流差动型运算放大器——LM3900	( 42 )
一、电路原理	( 43 )
二、电参数规范	( 44 )
三、应用方法	( 44 )
第五节 自稳零型运算放大器——ICL7650	( 46 )
一、电路结构	( 46 )
二、工作原理	( 47 )
三、电参数规范	( 48 )
四、一般应用	( 49 )
<b>第三章 运算放大器的选择</b>	( 51 )

第一节 运算放大器类型 .....	( 51 )
一、按电参数指标分类 .....	( 51 )
二、按工作原理分类 .....	( 51 )
三、按供电方式分类 .....	( 51 )
四、按集成度分类 .....	( 51 )
五、按生产工艺分类 .....	( 51 )
第二节 国内早期运算放大器 .....	( 51 )
一、早期运放特点 .....	( 51 )
二、国内早期运放型号对照 .....	( 52 )
三、各企业定型的早期运放典型接线 .....	( 52 )
四、国内部分集成电路生产厂产品代号 .....	( 55 )
第三节 运算放大器标准化规定 .....	( 55 )
一、型号命名 .....	( 56 )
二、外引线排列 .....	( 56 )
三、电参数标准 .....	( 57 )
四、优选运放典型接线 .....	( 58 )
第四节 国外集成电路的识别 .....	( 65 )
一、国外集成电路型号命名规律 .....	( 65 )
二、国内外集成运放的相互替换 .....	( 73 )
第五节 集成运放的进展 .....	( 74 )
第六节 选择运算放大器的要点 .....	( 75 )
一、集成运放的优值系数 .....	( 75 )
二、选择运放的方法 .....	( 77 )
三、选择运放参考表 .....	( 78 )
<b>第四章 运算放大器应用基础 .....</b>	<b>( 84 )</b>
第一节 运算放大器的特性参数 .....	( 84 )
一、输入特性参数 .....	( 84 )
二、输出特性参数 .....	( 86 )
三、电源特性参数 .....	( 86 )
四、增益特性参数 .....	( 87 )
五、频率特性参数 .....	( 87 )
六、噪声特性 .....	( 88 )
第二节 理想运算放大器 .....	( 91 )
一、理想运放的等效模型 .....	( 91 )
二、理想运放等效模型应用 .....	( 92 )
第三节 运放闭环后的特性 .....	( 93 )
一、开环增益和闭环增益 .....	( 93 )
二、开环输入电阻和闭环输入电阻 .....	( 95 )
三、开环输出电阻和闭环输出电阻 .....	( 96 )
四、开环带宽和闭环带宽 .....	( 97 )
第四节 运放参数不理想引入的误差 .....	( 97 )
一、开环增益有限引起的误差 .....	( 98 )
二、基流引起的误差及消除 .....	( 99 )

三、失调电压及失调电流引起的误差	(100)
四、输入电阻有限引入的误差	(101)
五、输出电阻不为零引起的误差	(102)
六、共模抑制比有限引起的误差	(102)
七、输入电容对闭环增益的影响	(104)
八、噪声的计算	(104)
第五节 运算放大器的稳定性	(107)
一、正弦响应特性——波特图	(107)
二、闭环系统稳定性判别方法和稳定裕量	(109)
三、瞬态响应特性	(111)
<b>第五章 运算放大器的参数测试</b>	(115)
第一节 测试系统原理及辅助电路	(115)
一、闭环测试系统原理	(115)
二、辅助运放反馈网络的设计	(116)
三、辅助电路	(117)
第二节 主要参数测试	(120)
一、输入失调电压 $V_{IO}$ 的测试	(120)
二、 $I_{IO}$ 、 $I_{IB}$ 的测试	(121)
三、开环电压增益 $A_{od}$ 的测试	(122)
四、共模抑制比 CMRR 的测试	(123)
五、 $P_D$ 和 $V_{op-p}$ 的测试	(124)
第三节 参考参数的测试	(125)
一、差模输入电阻 $R_{id}$ 的测试	(125)
二、共模输入电阻 $R_{ic}$ 的测试	(125)
三、开环输出电阻 $R_o$ 的测试	(126)
四、电源电压抑制比 $\pm PSSR$ 的测试	(126)
五、-3 dB带宽 $f_c$ 的测试	(126)
六、0 dB带宽 $f_{cp}$ 的测试	(126)
七、全功率带宽 $f_p$ 的测试	(127)
八、转换速率 SR 及过载恢复时间 $t_{re}$ 的测试	(127)
九、建立时间 $t_s$ 的测试	(127)
十、噪声的测试	(128)
十一、相移的测试	(130)
第四节 极限参数的测试	(130)
一、最大输出电压 $\pm V_{om}$ 和最大输出电流 $I_{om}$	(130)
二、最大供电电压 $V_{\pm m}$	(131)
三、最大共模输入电压 $V_{icm}$	(131)
四、最大差模输入电压 $V_{idm}$	(132)
五、最大输入电流 $I_{idm}$	(132)
第五节 运放电参数特性的老化和筛选	(132)
<b>第六章 运算放大器的应用技巧</b>	(134)
第一节 运算放大器自激的消除	(134)
一、相补方法	(134)

二、相补电路	( 137 )
第二节 运算放大器输出零点的调节	( 139 )
一、零点调节方法	( 139 )
二、调零电路选择	( 140 )
第三节 运算放大器性能扩展技术	( 141 )
一、提高输出电压	( 142 )
二、增大输出电流	( 142 )
三、提高输入电阻	( 142 )
四、扩展全功率带宽	( 145 )
五、提高共模抑制比	( 146 )
六、减小温度漂移	( 146 )
第四节 应用中的几个实际问题	( 147 )
一、单电源供电问题	( 147 )
二、输出电平偏置接口问题	( 147 )
三、安全保护问题	( 148 )
四、电路板的制作和屏蔽问题	( 149 )
<b>第七章 典型应用电路</b>	<b>( 152 )</b>
第一节 比例放大电路	( 152 )
一、反相输入比例放大电路	( 152 )
二、同相输入比例放大电路	( 153 )
三、差动输入比例放大电路	( 154 )
第二节 测量电路	( 155 )
一、模拟电表电路	( 155 )
二、桥路传感测量电路	( 159 )
三、远距离测量放大电路	( 162 )
第三节 运算电路	( 163 )
一、加法器和减法器	( 163 )
二、积分器和微分器	( 165 )
三、对数和反对数放大器	( 168 )
四、乘法器和除法器	( 170 )
第四节 有源滤波器	( 173 )
一、无限增益单反馈型滤波器	( 175 )
二、无限增益多反馈型滤波器	( 185 )
三、压控电压源型滤波器	( 191 )
四、积木式滤波器	( 198 )
五、模拟电感和电容倍增器	( 212 )
第五节 比较器电路	( 215 )
一、比较器主要技术指标	( 215 )
二、几种基本比较器电路	( 216 )
三、专用比较器电路	( 218 )
第六节 信号变换电路	( 222 )
一、D/A变换器	( 222 )
二、VFC变换器	( 225 )

第七节	电压源和电流源 .....	( 228 )
一、	基准电压源 .....	( 228 )
二、	功率电源 .....	( 228 )
三、	电流源 .....	( 230 )
第八节	信号发生器电路 .....	( 230 )
一、	正弦波发生器 .....	( 230 )
二、	方波和矩形脉冲波发生器 .....	( 236 )
三、	三角波和锯齿波发生器 .....	( 237 )
四、	阶梯波发生器 .....	( 239 )
<b>第八章</b>	<b>应用电路精选 .....</b>	<b>( 242 )</b>
第一节	各种放大电路 .....	( 242 )
第二节	元件模拟及测量电路 .....	( 244 )
第三节	运算电路 .....	( 245 )
第四节	比较器电路 .....	( 247 )
第五节	信号变换电路 .....	( 249 )
第六节	信号发生器 .....	( 250 )
第七节	电压源和电流源电路 .....	( 253 )
第八节	控制电路 .....	( 255 )
<b>主要参考资料</b>		<b>( 256 )</b>

# 第一章 集成运算放大器内电路分析

## 第一节 集成运算放大器内电路元件

### 一、集成电路制造一般工艺过程

集成电路是按具有一定功能的线路，将其元件如电阻、电容、晶体管及相互的连接线，在一系列工艺过程中，同时制作在一块硅片上的电路。以NPN管的制造为例，制作过程大致可分成七道工序：

#### 1. 隐埋层扩散

首先制作线路中所有晶体管的集电极。将加工好的P型单晶硅片作衬底，硅片厚约 $250\mu\text{m}$ ，杂质浓度约 $10^{16}\text{原子}/\text{cm}^3$ ，电阻率约 $8\sim 13\Omega \cdot \text{cm}$ 。为降低集电极电阻，在集电区位置先做埋层扩散，扩散杂质常用砷或锑，埋层电阻一般为 $20\sim 50\Omega/\square$ ，每次扩散之前都需进行氧化、光刻两个步骤。氧化是在高温 $1100\sim 1200^\circ\text{C}$ 下，使硅片上生成 $1\mu\text{m}$ 厚的二氧化硅的保护层。光刻的目的是要通过腐蚀的方法，在需要做埋层扩散的位置，准备好扩散的窗口。光刻的过程是在氧化层上涂敷感光胶，然后覆盖掩模板，再进行紫外线曝光，经过显影、定影，最后用氢氟酸腐蚀。对于负性胶，未被曝光的部分，氧化层将被腐蚀掉，而露出硅片作为扩散的窗口。隐埋层扩散就通过窗口以高浓度的N型杂质扩散，在窗口底形成一层低电阻率的N<sup>+</sup>区隐埋层，如图1-1-1所示。

#### 2. 外延层生长

第二道工序为生长N型外延层。晶体管的集电极由外延层材料构成，因此外延层厚度及其N型杂质浓度的大小决定了晶体管集-基击穿电压。通常要求外延层厚度约 $7\sim 15\mu\text{m}$ ，杂质浓度约 $10^{15}\text{原子}/\text{cm}^3$ ，电阻率约 $5\Omega \cdot \text{cm}$ ，外延生长后剖面结构如图1-1-2所示。

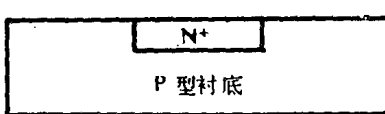


图1-1-1 隐埋层扩散

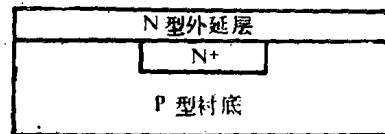


图1-1-2 外延层生长

#### 3. 隔离扩散

第三道工序为隔离扩散。因为全部线路元件都集成在一块硅片衬底上，元件之间需要互相隔离。有两种隔离方法：一种叫介质隔离，是利用SiO<sub>2</sub>做绝缘材料将电路各元件隔开，这种工艺较复杂，但由于做成的电路电性能好，至今还有用于高温、高压、高速的运算放大器生产中。另一种叫PN结隔离，是利用PN结反偏的方法实现隔离，这种方法存在反向漏电流、PN结电容、寄生晶体管效应等缺点，但由于工艺简单，因而被广泛采用。在进行PN结隔离扩散之前也要进行氧化、光刻扩散槽，隔离扩散用硼做P型杂质。

9010250

质源进行高浓度扩散，扩散电阻约为  $20\sim40\Omega/\square$ ，这次扩散必须穿透外延层与衬底连通，如图1-1-3。

#### 4. 基区扩散

第四道工序是晶体管的基区扩散，基区扩散通常为扩硼，扩散深度约  $1\sim3\mu\text{m}$ ，扩散电阻约  $100\sim300\Omega/\square$ ，这次扩散同时也制成线路中所需的电阻。基区扩散后剖面结构如图1-1-4所示。

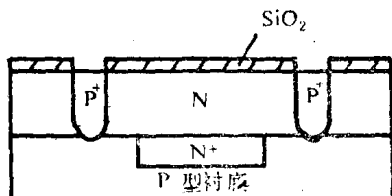


图1-1-3 隔离扩散

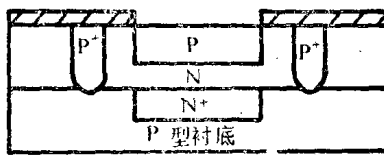


图1-1-4 基区扩散

#### 5. 发射区扩散

第五道工序是作发射区和集电区接头扩散，在氧化光刻之后，用磷作n型杂质源进行重掺杂扩散，扩散深度约  $0.5\sim2.5\mu\text{m}$ ，薄层电阻约  $2\sim10\Omega/\square$ ，发射区扩散后的剖

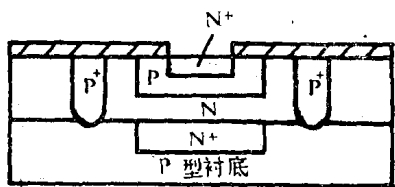


图1-1-5 发射区扩散

面如图1-1-5所示。

#### 6. 刻引线孔和蒸铝

第六道工序是刻引线孔和蒸铝。先进行光刻将所有元件的连接端引线孔准备好，然后进行真空镀膜在硅片上覆盖约  $1\mu\text{m}$  的铝层。

#### 7. 刻铝

第七道工序是刻铝。即根据线路对各元件间相互连接的要求，把不需要的铝膜用光刻的方法刻除，这样集成电路就基本完成。其中单只NPN晶体管的平面和剖面示意图如图1-1-6。

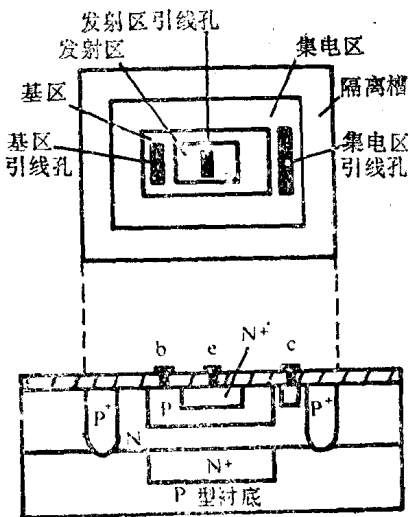


图1-1-6 NPN晶体管的平面和剖面图

## 二、集成运算放大器中的双极型晶体管

在集成运算放大器中双极型晶体管的类型较多，除了NPN管以外还有纵向PNP管和横向PNP管，而NPN管中又有一种叫超 $\beta$ 管。在结构上看，又有多集电极或多发射极管。现重点叙述这些特殊管的特点和应用场合。

### 1. 横向PNP晶体管

在集成运算放大器中横向PNP管常用作偏置、电平移动、放大级的有源负载等。在集成电路中横向PNP管结构如图1-1-7所示。由图可见，管子的集电区围绕发射区呈P型环状，而基区孔位于环形集电区外面的N型外延层中，这样，从发射区注入的空穴，以平行于表面的流动方向渡越N型基区，几乎在抵达基区孔以前便被P型集电区所收集，因为载流子的流向是“横向的”，故称为横向PNP管。这种管子在制做时，由于它的发射区和集电区的P型层与形成NPN管基区的P型层是在同一次扩散中完成，使得横向PNP管的集电区掺杂比基区重，因而结构上必须加宽基区，以免在最大集-射电压工作时集-基耗尽层扩展到发射区。这种结构和工艺导致横向PNP管的缺点是：频率特性不好， $f_T$ 约为5MHz，这一指标只有典型的npn管的百分之一；电流增益小，而且在增大集流时电流增益下降很快。典型的横向PNP管低电流时 $\beta$ 大约为30到50，在集电极电流为几十微安时 $\beta$ 便开始减小，当集电极电流为1mA时 $\beta$ 已下降到小于10。但是横向PNP管基区宽，掺杂轻带来的好处是反向be结的耐压增加，用这种管作输入级可承受较大的差模电压。

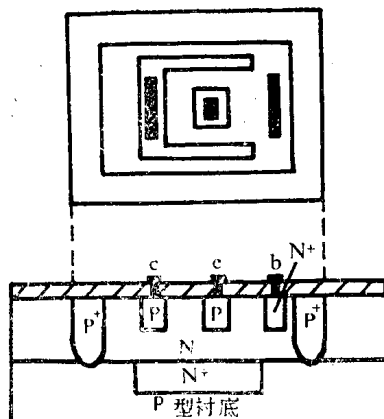


图1-1-7 横向PNP管

## 2. 衬底PNP晶体管

横向PNP管大电流时性能差，而运放常需用PNP管作B类推挽输出，集电极电流在10mA左右条件下工作。为适应这种要求，常采用另一种结构：用衬底本身代替扩散形成的P型区作晶体管的集电区，如图1-1-8所示。因电流是纵向流动的，这种晶体管因而也称为纵向PNP管。这种器件在整体尺寸相同时，发射区的有效横截面面积远大于横向PNP管的相应面积，大电流能力得到改善。但集电极电流要在P型衬底区流过，该区电阻率较高、会形成较大的串联集电区电阻，降低器件性能。另外，这种晶体管只能用于射随器组态，因为集电极就是衬底，它必须同电路中最负的电位连接。这种管子的电流放大系数 $\beta$ 一般小于50， $f_T$ 约在10MHz左右。

## 3. 超 $\beta$ 晶体管

为了提高运算放大器输入阻抗和减小温度漂移，它的输入级常采用超 $\beta$ 管。超 $\beta$ 管的 $\beta$ 值可达2000~10000倍。采用超 $\beta$ 管的运算放大器可从输入偏流的数值判断出来，它的典型值在1nA左右，比简单差分输入级小两个数量级，而比JFET输入级大一个数量级。超 $\beta$ 输入级运算放大器的差模输入阻抗可达50MΩ，而耐差模输入电压小，通常输入保护电路在输入电压超过1V时起作用，限制电流不超过 $\pm 10mA$ ，如美国国家半导体公司的LM308等产品就采用超 $\beta$ 管。

## 4. 多集电极晶体管

为改进运算放大器的性能，在集成电路制造中，设计人员可充分利用集成工艺的便

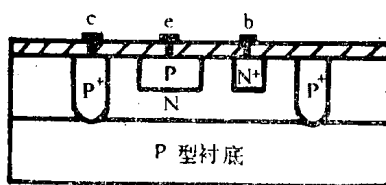


图1-1-8 纵向PNP晶体管

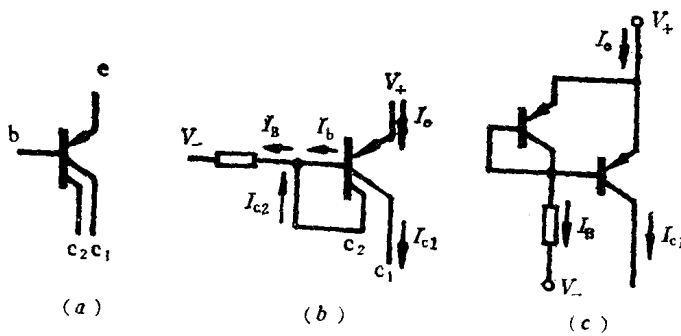


图1-1-9 多集电极晶体管

利条件，制造成多集电极晶体管，如图1-1-9(a)所示。这种多极晶体管有两种用法。一是作为两个晶体管分别使用；另一是作具有温度补偿的恒流源用，如图1-1-9(b)可等效为图1-1-9(c)。

温度补偿的原理如下：因其中一个集电极和基极相连，形成电流负反馈，当温度上升引起

$\beta_1$  ( $= \frac{I_{c1}}{I_b}$ ) 和  $\beta_2$  ( $= \frac{I_{c2}}{I_b}$ ) 上升时， $I_{c1}$  和  $I_{c2}$  上升，但由于  $I_B$  恒定，则  $I_b (= I_B - I_c)$  下降，从而使  $I_{c1}$ 、 $I_{c2}$  下降趋于原值。这种恒流源电路的优点是晶体管的  $\beta$  在生产中易于控制，它仅决定于两集电区面积比。如作为一个等效晶体管看待，设基极电流为  $I_B$ ，集电极电流为  $I_c$ ，等效电流放大系数为  $\beta = \frac{I_{c1}}{I_B}$ ，两个集电区  $A_{c1}$  和  $A_{c2}$  的面积比为  $N$ ，因为是共同基极，则两集电极电流之比等于对应集电区面积比：

$$\frac{I_{c1}}{I_{c2}} = \frac{\beta_1}{\beta_2} = N$$

$$\beta = \frac{I_{c1}}{I_B} = \frac{I_{c1}}{I_{c2} + I_b} = \frac{N}{1 + \frac{1}{\beta_2}}$$

如  $\beta_2 \approx 1$ ，则  $\beta = \frac{N}{2}$ 。集电区面积比在设计中确定后，电流放大系数也就确定了，减少了

由于工艺不稳定带来的分散性。这种电流源具有约为  $r_e/\mu$  的输出电阻，式中  $r_e$  为基-射二极管的扩散电阻， $\mu$  为基区宽度调制参数。

## 5. 双极型晶体管的特性参数及等效电路

### (1) 大信号特性

由半导体理论得出，在大信号作用下，共射连接的 npn 双极型晶体管，可用图 1-1-10 简化模型表示。供工作于正向作用区时，晶体管偏置电路计算使用。

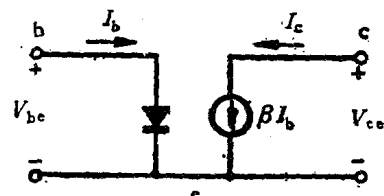
在大信号作用下 ( $V_{be} > 4V_T$ ) 集电极电流

$$I_c = I_s \exp \frac{V_{be}}{V_T}$$

式中  $I_s$  为 pn 结反向饱和电流，典型值  $10^{-14} \sim 10^{-15} A$ 。

$V_T = \frac{kT}{q}$  称热电压， $k$  为波耳兹曼常数等于  $1.38 \times 10^{-23}$  焦/K， $q$  为电子电量等于  $1.6 \times 10^{-19}$  库仑， $T$  为绝对温度，单位为 K，在 300K 下  $V_T = \frac{kT}{q} \approx 26mV$ ， $V_{be(on)}$  通常为 0.6~0.7V，温度系数典型值  $-2mV/^\circ C$ 。

集电极电压变化时，基区宽度随  $V_{ce}$  增大而减小，集电极电流表示式修改为



1-1-10 共发射极晶体管大信号模型

$$I_c = I_s \left( 1 + \frac{V_{ce}}{V_A} \right) \exp \frac{V_{be}}{V_T}$$

式中  $V_A = \frac{I_c}{\frac{\partial I_c}{\partial V_{ce}}}$  称欧拉 (Early) 电压，是晶体管计算输出阻抗和用计算机分析电路的常用模型参数。它可从晶体管特性曲线与  $V_{ce}$  轴线相交得到图1-1-11，典型值  $V_A = 50 \sim 100V$ ，是与  $I_c$  大小无关的常数。

## (2) 小信号特性

所谓小信号是指使晶体管工作在线性状态下的信号，为此要求小信号的最大值  $V_{im} = \Delta V_{be} \ll V_T$ ，在  $25^\circ C$  时，当  $V_i \leq 10mV$ ，线性误差小于  $10\%$ ，已可认为是小信号了。小信号作用下双极型晶体管的计算可采用图1-1-12所示的等效电路。图中参数意义及相互关系为：

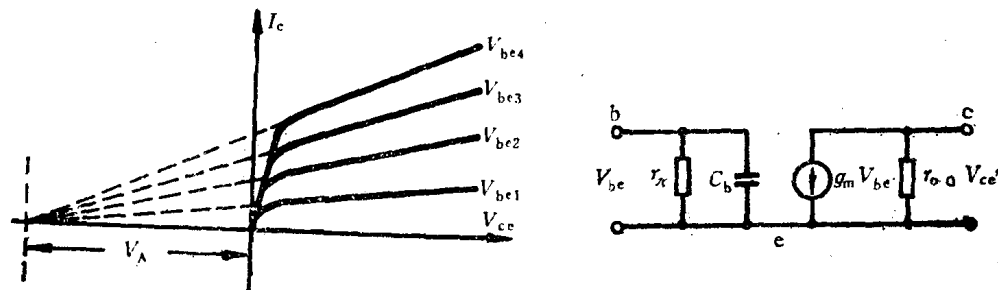


图1-1-11 Early电压

图1-1-12 共发射极晶体管小信号模型

### (1) $g_m$ ——跨导

$$g_m = \frac{dI_c}{dV_{be}} = \frac{d}{dV_{be}} I_s \exp \frac{V_{be}}{V_T} = \frac{I_s}{V_T}$$

跨导与偏置电流  $I_c$  成线性关系。在  $25^\circ C$  及  $I_c = 1mA$  时， $g_m = 38mA/V$ 。

### (2) $r_\pi$ ——双极型晶体管小信号输入分路电阻。它取决于电流增益 $\beta$ 和 $I_c$ 成反比。

$$r_\pi = \frac{u_i}{i_b} = \frac{\beta_n}{g_m}$$

式中  $\beta_n = \frac{\Delta I_c}{\Delta I_b}$  为小信号电流增益。

### (3) $C_b$ ——基区充电电容

$$C_b = \tau_F g_m$$

式中  $\tau_F = \frac{Q_e}{I_c} = \frac{W_B^2}{2D_n}$  为正向基区渡越时间。 $W_B$  为基区宽度， $D_n$  为扩散常数。对于 n-p-n 管  $\tau_F = 0.1 \sim 1ns$  对于 p-n-p 管  $\tau_F = 20 \sim 40ns$ 。

(4)  $r_o$ ——双极型晶体管小信号输出电阻。和  $I_c$  成反比。当  $I_c = 1mA$ ， $r_o = 50 \sim 100k\Omega$ 。

$$r_o = \frac{\Delta V_{ce}}{\Delta I_c} = \frac{V_A}{I_c} = \frac{V_A}{V_T g_m} = \frac{1}{\eta g_m}$$

式中  $\eta = \frac{V_T}{V_A}$ ，设  $V_A = 100V$ ，则在  $25^\circ C$  时， $\eta = 2.6 \times 10^{-4}$ 。

### 三、集成运算放大器中的结型场效应管

结型场效应管在集成运算放大器中常用作输入器件，以提高运算放大器的输入阻抗。结型场效应管有p沟耗尽型和n沟耗尽型两种，在运算放大器中以p沟道类型居多。

下面以p沟道J-FET为例，简要叙述其特性。

图1-1-13(a)为p沟J-FET的剖面结构图，图1-1-13(b)和图1-1-13(c)为它的示意图

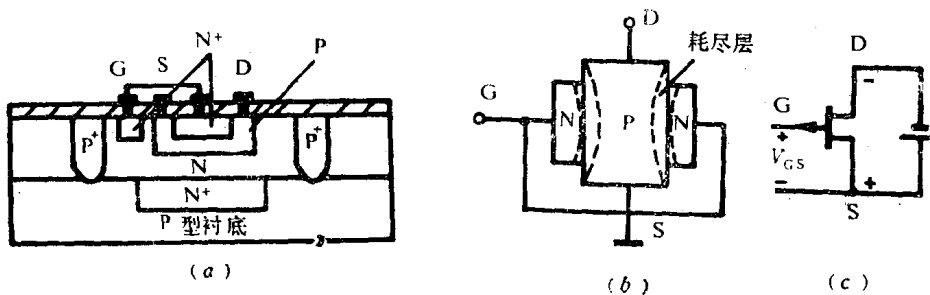


图1-1-13 p沟J-FET

和表示符号。当漏极上加负压 $V_{DS}$ ，栅极电压适当时，则有电流从源极流向漏极，漏极特性曲线  $I_D = f(V_{DS})|_{V_{GS}=\text{常数}}$  如图 1-1-14(a) 所示。特性曲线可分为两个工作区：夹断区（或称饱和区——指漏电流饱和，和双极型管的压降饱和意义不同，所指特性曲线的部位也不同）和预夹断区（或称可控电阻区）。

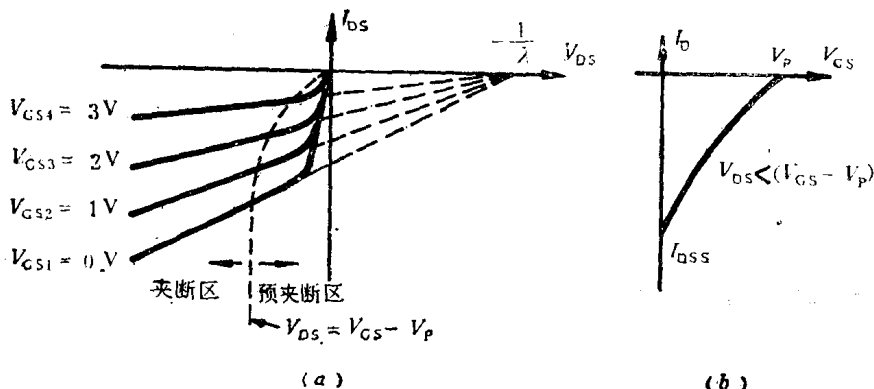


图1-1-14 P沟J-FET特性曲线

在适当漏源电压下( $|V_{DS}| < |V_{GS} - V_P|$ )，漏电流  $I_D$  受  $V_{GS}$  的控制。 $V_{GS}$  为正，沟道收缩漏电流减小，当  $V_{GS} = V_P$  时，沟道被夹断，如图 1-1-14(b) 的转移特性  $I_D = f(V_{GS})|_{V_{DS}=\text{常数}}$  所示。 $V_{DS} = 0$  时，沟道被耗尽区夹断所需的栅源电压  $V_P$  称为夹断电压，对P沟器件此值为正，典型值为1~3V。

在  $V_{GS}$  一定时， $I_D$  也随  $V_{DS}$  增加而增加，当  $V_{DS}$  很小时，沟道象一个电阻，漏电流  $I_D$  和漏源电压  $V_{DS}$  成正比，对于不同的  $V_{GS}$ ，则有不同的电阻值，其阻值从几十欧到

几十兆欧。 $V_{GS} = 0$  时，漏源间电阻称为导通电阻  $R_{on} = \frac{V_{DS}}{I_D}$ 。当  $|V_{DS}|$  增大到  $|V_{DS}| \geq |V_{GS} - V_P|$ ，器件工作进入饱和区，即漏极电流几乎与  $V_{DS}$  无关。而此时漏极电流和栅源电压之间近似存在平方律关系：

$$I_D = I_{DSS} \left(1 - \frac{V_{GS}}{V_P}\right)^2$$

式中  $I_{DSS}$  是栅源电压为零时的饱和漏电流，一般规定在  $|V_{DS}| = 10V$  测量，对 P 沟器件此值为负。

在放大电路中应用时，JFET 工作在饱和区，可用大信号模型图 1-1-15(a) 和低频小信号模型图 1-1-15(b) 来描述。图中  $I_D = I_{DSS} \left(1 - \frac{V_{GS}}{V_P}\right)^2 (1 - \lambda V_{DS})$ 。

图中： $\lambda$ ——相当于双极型晶体管欧拉电压的倒数，典型值为  $10^{-2} \frac{1}{V}$ ，

$$g_m \text{——为小信号低频跨导。} g_m = \frac{dI_D}{dV_{GS}} \Big|_{V_{DS}=\text{常数}} = -\frac{2I_{DSS}}{V_P}, \left(1 - \frac{V_{GS}}{V_P}\right) = g_m \sqrt{\frac{I_D}{I_{DSS}}}.$$

式中  $g_m = -\frac{2I_{DSS}}{V_P}$ 。 $g_m$  与  $V_{GS}$  关系可用图 1-1-16 表示

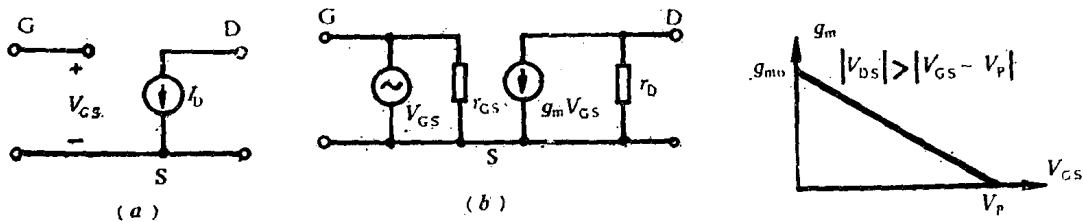


图 1-1-15 P 沟 J-FET 等效模型

图 1-1-16 P 沟 J-FET 跨导特性

$$r_D \text{——为 JFET 小信号输出电阻，} r_D \approx \frac{\partial V_{DS}}{\partial I_D} \Big|_{V_{GS}} = \frac{1}{\lambda} \cdot \frac{1}{I_D}.$$

$r_{gs}$ ——为 JFET 动态输入电阻。JFET 的  $V_{GS}$  极性与  $V_{DS}$  极性必须相反，其输入电阻是反偏的 PN 结，交流输入电阻可达  $10^8 \Omega$  以上。

对于 JFET，存在零温度系数点电压  $V_{GSZ}$  和相应的  $I_{DZ}$ ，可用下式计算。

$$V_{GSZ} \approx V_P \pm (0.63 \sim 0.68)V$$

$$I_{DZ} = I_{DSS} \left( \frac{0.63 \sim 0.68}{V_P} \right)^2$$

如果将电流和电压符号改成相反，以上分析的结论，也适用于 N 沟 JFET。

#### 四、集成运算放大器中的 MOS 场效应管

由于 MOS 工艺有利于大规模集成，及它的低功耗、高栅源阻抗等优点，早在七十年代初期，美国 RCA 公司就生产一种以 P 沟 MOS 管作输入级，仍用双极性晶体管作输出级，二者兼容的产品 CA3140。随后出现了 N 沟增强型全部 MOS 管组成的运算放大器，到八十年代初运算放大器的制造，已能用 CMOS 工艺生产第四代运算放大器，如美国的 Intersil 公司生产了动态校零运放 ICL7650。下面简要叙述 N 沟 MOS 场效应晶体管

特性。

MOSFET和JFET其特性相似，但导电机理和结构不同。MOS器件按导电特性分P沟和N沟两种，按导电机理又分为增强型和耗尽型，故共有四种类型，表示符号如图1-1-17。图1-1-18为N沟MOS场效应晶体管的基本剖面结构，这种结构特点是，在栅极未加正电压时，漏源间PN结反偏没有电流通过，加上 $V_T$ （开启电压）电压后，在栅极下

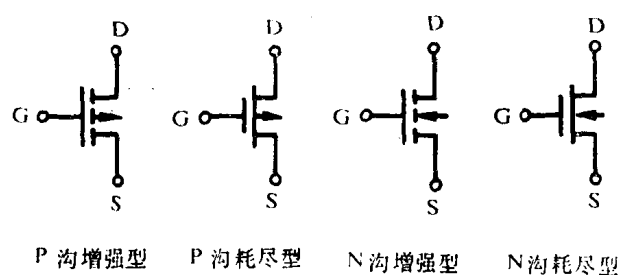


图1-1-17 MOS-FET表示符号

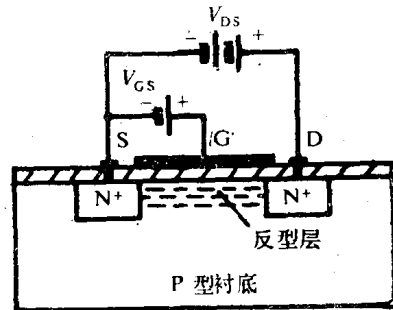


图1-1-18 N沟MOS-FET剖面图

面的硅表面上聚集大量的电子，形成一个能导电的N型层，这个N型层是在P型硅表面由外加电压形成，常叫做反型层，这个反型层成为导电沟道，这个导电沟道，随着正电压的增加，导电性能也跟着增强，所以这种类型MOS管称为增强型。如果P型硅的掺杂浓度很低，即使栅极上没有加电压，氧化膜中正电荷也能吸引足够的电子在硅表面上形成反型层，此时只要加上 $V_{DS}$ 就会有电流通过，栅压的控制作用是加上负电压使原有的反型层“耗尽”，所以这种类型的MOS管称为耗尽型。

N沟增强型MOS-FET的输出特性和转移特性如图1-1-19(a)和图1-1-19(b)所示。

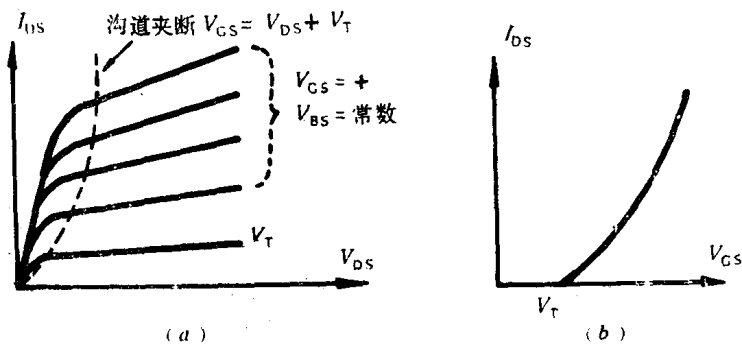


图1-1-19 N沟增强型MOS-FET特性曲线

和JFET相似其工作区域可分为非饱和区及饱和区两部分，并可分别用下列方程描述。

非饱和区：

$$V_{DS} < V_{GS} - V_T$$

$$I_D = K[2(V_{GS} - V_T)V_{DS} - V_{DS}^2]$$

饱和区：

$$V_{DS} \geq V_{GS} - V_T$$

$$I_D = K(V_{GS} - V_T)^2 \cdot (1 + \lambda V_{DS}) \approx K(V_{GS} - V_T)^2$$

式中  $K = \frac{\mu \epsilon_{ox}}{2t_{ox}} \left( \frac{W}{L} \right) = \frac{\mu C_{ox}}{2} (W/L) = K' \left( \frac{W}{L} \right)$  称为传导因子。其中， $\mu$  为沟道载流